



UNIVERSITÄTS-  
BIBLIOTHEK  
PADERBORN

# **Die Statik im Stahlbetonbau**

**Beyer, Kurt**

**Berlin [u.a.], 1956**

Gerade Stäbe

---

[urn:nbn:de:hbz:466:1-74292](https://nbn-resolving.org/urn:nbn:de:hbz:466:1-74292)

kräfte positiv. Die Biegemomente  $M_J^{(h)}, M_K^{(h)}$  werden an den freien Querschnitten des Stabes als positiv bezeichnet, wenn ihr Drehsinn mit der Richtung des Uhrzeigers übereinstimmt. Die positiven Richtungen der Querkräfte  $Q_J^{(h)}, Q_K^{(h)}$  sind in Abb. 285 festgesetzt.

Jedem Gelenk  $G$  der Knotenpunktfigur ist eine resultierende Kraft  $\mathfrak{P}_G$ , jedem Stabknoten  $J$  außer  $\mathfrak{P}_J$  noch ein resultierendes Kräftepaar  $M_J$  zugeordnet, die mit den Anschlußkräften an den freien Querschnitten im Gleichgewicht stehen. Dasselbe gilt von der Belastung  $\mathfrak{P}_h$  des Abschnitts  $(h)$  und den sechs Anschlußkräften der beiden freien Querschnitte  $J, K$ . Von diesen sind drei statisch unbestimmt. Am besten eignen sich  $M_J^{(h)}, M_K^{(h)}, N_K^{(h)}$  als überzählige Größen. Ist der Abschnitt  $(h)$  im Stabwerk an dem einen Ende steif, an dem anderen frei drehbar angeschlossen, so sind zwei Anschlußkräfte statisch unbestimmt. Bei zwei Gelenken ist nur eine statisch überzählige Größe  $N_K^{(h)}$  vorhanden.

Der Spannungszustand eines jeden Abschnitts  $(h)$  wird, abgesehen von der Belastung  $\mathfrak{P}_h$  und einer Temperaturänderung  $t, \Delta t$ , durch die geometrischen Randwerte  $\varepsilon_h, \vartheta_h$  der relativen Verschiebung der Stabenden und durch die Drehwinkel der Stabendtangente bestimmt. Diese sind mit  $\varphi_J^{(h)}, \varphi_K^{(h)}$  oder relativ zu  $J'K'$  (Abb. 285) mit  $\tau_J^{(h)}, \tau_K^{(h)}$  vorgeschrieben, so daß die statisch unbestimmten Anschlußkräfte des Stabes nach dem Superpositionsgesetz folgendermaßen zerlegt werden:

$$\left. \begin{aligned} M_J^{(h)} &= M_{J_0}^{(h)} + M_{J_1}^{(h)} \varphi_J^{(h)} + M_{J_2}^{(h)} \varphi_K^{(h)} + M_{J_3}^{(h)} \vartheta_h + M_{J_4}^{(h)} \varepsilon_h, \\ M_K^{(h)} &= M_{K_0}^{(h)} + M_{K_1}^{(h)} \varphi_J^{(h)} + M_{K_2}^{(h)} \varphi_K^{(h)} + M_{K_3}^{(h)} \vartheta_h + M_{K_4}^{(h)} \varepsilon_h, \\ N_K^{(h)} &= N_{K_0}^{(h)} + N_{K_1}^{(h)} \varphi_J^{(h)} + N_{K_2}^{(h)} \varphi_K^{(h)} + N_{K_3}^{(h)} \vartheta_h + N_{K_4}^{(h)} \varepsilon_h. \end{aligned} \right\} \quad (500)$$

Sind die geometrischen Randwerte  $\varphi_J^{(h)}, \varphi_K^{(h)}, \varepsilon_h, \vartheta_h$  Null, so entstehen mit  $M_J^{(h)} = M_{J_0}^{(h)}$  usw. die statisch unbestimmten Anschlußkräfte des beiderseits starr eingespannten Stabes oder Stabzugs aus Belastung  $\mathfrak{P}$  und Temperaturänderung  $\Delta t$ . Die Anschlußkräfte  $M_{J_1}^{(h)}, M_{J_2}^{(h)}, M_{J_3}^{(h)}, M_{J_4}^{(h)}$  sind die Anschlußkräfte des beiderseits starr eingespannten, unbelasteten Stabes mit vorgeschriebenen Randbedingungen  $\varphi_J^{(h)} = 1, \varphi_K^{(h)} = 1, \vartheta_h = 1, \varepsilon_h = 1$ . Die Stäbe mit biegungsstiftem Anschluß in  $J$  und einem Gelenk  $G$  am anderen Ende werden durch die Bezeichnung  $l_v$  unterschieden. Bei ihnen ist  $M_G^{(g)} = 0$  und

$$\left. \begin{aligned} M_J^{(g)} &= M_{J_0}^{(g)} + M_{J_1}^{(g)} \varphi_J^{(g)} + M_{J_3}^{(g)} \vartheta_g + M_{J_4}^{(g)} \varepsilon_g, \\ N_G^{(g)} &= N_{G_0}^{(g)} + N_{G_1}^{(g)} \varphi_J^{(g)} + N_{G_3}^{(g)} \vartheta_g + N_{G_4}^{(g)} \varepsilon_g. \end{aligned} \right\} \quad (501)$$

Die Vorzahlen sind die Anschlußkräfte des einseitig starr eingespannten, in  $G$  gelenkig angeschlossenen Stabes aus den Randbedingungen  $\varphi_J^{(g)} = 1, \vartheta_g = 1, \varepsilon_g = 1$ . Das Ergebnis kann unmittelbar angeschrieben oder aus der Lösung für den beiderseits eingespannten Stab mit der Bedingung  $M_K^{(h)} \equiv M_G^{(g)} = 0$  abgeleitet werden. Diese liefert  $\varphi_G^{(g)}$  und damit die Anschlußkräfte  $M_J^{(g)}, N_G^{(g)}$ .

**Gerade Stäbe.** a) Der Stab  $(h)$  ist an beiden Enden  $J$  und  $K$  biegungsstif angeschlossen. Die Schnittkräfte  $M_{J_4}^{(h)}, N_{K_1}^{(h)}, N_{K_2}^{(h)}, N_{K_3}^{(h)}$  sind in (500) Null,  $N_{K_4}^{(h)} = EF_h$  und daher

$$N_K^{(h)} = N_{K_0}^{(h)} + EF_h \varepsilon_h. \quad (502)$$

Die beiden anderen statisch unbestimmten Anschlußkräfte  $M_J^{(h)}, M_K^{(h)}$  werden unter Beachtung der Vorzeichen am einfachsten nach Abschn. 26 berechnet. Um dabei die bekannten Bezeichnungen beizubehalten, tritt hier zunächst für den Buchstaben  $J$  die Ziffer 1, für den Buchstaben  $K$  die Ziffer 2. Die Vorzahlen und Belastungszahlen  $\delta$  sind hier jedoch ebenso wie  $\varphi$  und  $\vartheta$  wirkliche Winkel, sie bezeichnen also nicht wie in Abschn. 26 den  $EJ_e$ -fachen Betrag. Die Endquerschnitte 1, 2 des statisch bestimmten Stabes drehen sich infolge Belastung  $\mathfrak{P}_h$  und Temperatur-

änderung  $\Delta t$  um  $\delta_{10}$  und  $\delta_{20}$ , infolge der Stützenverschiebungen um  $\delta_{1s} = \varphi_J^{(h)} - \vartheta_h$ ,  $\delta_{2s} = \varphi_K^{(h)} - \vartheta_h$ , so daß bei veränderlichem Trägheitsmoment

$$\left. \begin{aligned} M_J^{(h)} &= \frac{\delta_{10} - \delta_{20} \delta_{12}/\delta_{22}}{\delta_{11} - \delta_{12} \delta_{12}/\delta_{22}} + \frac{\delta_{1s} - \delta_{2s} \delta_{12}/\delta_{22}}{\delta_{11} - \delta_{12} \delta_{12}/\delta_{22}} \\ &= M_{J0}^{(h)} + \beta_{11} \varphi_J^{(h)} + \beta_{12} \varphi_K^{(h)} - (\beta_{11} + \beta_{12}) \vartheta_h, \\ M_K^{(h)} &= M_{K0}^{(h)} + \beta_{12} \varphi_J^{(h)} + \beta_{22} \varphi_K^{(h)} - (\beta_{22} + \beta_{12}) \vartheta_h. \end{aligned} \right\} \quad (503)$$

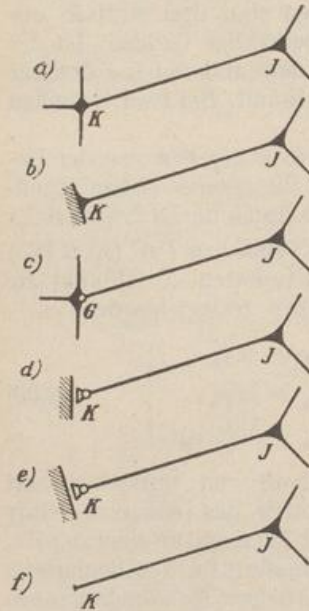


Abb. 286.

Beiderseits elastisch eingespannter Stab.  
Randbedingungen:  $\varphi_J^{(h)}, \varphi_K^{(h)}, \vartheta_h, \varepsilon_h$ .

Starr und elastisch eingespannter Stab.  
Randbedingungen:  $\varphi_J^{(h)}, \varphi_K^{(h)} = 0, \vartheta_h, \varepsilon_h$ .

Gelenkig gelagerter und elastisch eingespannter Stab.  
Randbedingungen:  $M_G = 0, \varphi_J^{(h)}, \vartheta_h, \varepsilon_h$ .

Schräg geführter und elastisch eingespannter Stab.  
Randbedingungen:  $\vartheta_h = f(\varepsilon_h), M_K = 0, \varphi_J^{(h)}, \frac{Q_K}{N_K} = \text{tg } \alpha$ .

Senkrecht geführter und elastisch eingespannter Stab.  
Randbedingungen:  $Q_K = 0, M_K = 0, \varphi_J^{(h)}, \varepsilon_h$ .

Elastisch eingespannter Stab mit freiem Ende.  
Randbedingungen:  $M_K = 0, Q_K = 0, N_K = 0, \varphi_J^{(h)}$ .

Bei symmetrischen Stäben ist  $\delta_{11} = \delta_{22}$ , also auch  $\beta_{11} = \beta_{22}$ . Die Vorzeichen können bei einer stetigen Veränderung des Querschnitts angenähert nach Tabelle 13a, b berechnet werden.

Ist  $J_h$  im Bereich von  $l_h$  konstant, so ist

$$\delta_{11} = \delta_{22} = \frac{l_h}{3EJ_h}, \quad \delta_{12} = -\frac{l_h}{6EJ_h}, \quad \beta_{11} = \beta_{22} = \frac{4EJ_h}{l_h}, \quad \beta_{12} = \frac{2EJ_h}{l_h}. \quad (504)$$

Die statisch unbestimmten Anschlußkräfte können daher bei vorgeschriebenen Randbedingungen  $\varphi_J^{(h)}, \varphi_K^{(h)}, \vartheta_h, \varepsilon_h$  unmittelbar angegeben werden. Damit sind alle Anschlußkräfte des Stabes ( $h$ ) bekannt.

1. Die Stabenden  $J$  und  $K$  sind elastisch drehbar (Abb. 286a):

$$\left. \begin{aligned} M_J^{(h)} &= M_{J0}^{(h)} + 2 \frac{EJ_h}{l_h} (2\varphi_J^{(h)} + \varphi_K^{(h)} - 3\vartheta_h), \\ M_K^{(h)} &= M_{K0}^{(h)} + 2 \frac{EJ_h}{l_h} (\varphi_J^{(h)} + 2\varphi_K^{(h)} - 3\vartheta_h), \\ N_K^{(h)} &= N_{K0}^{(h)} + EF_h \varepsilon_h, \quad N_J^{(h)} = N_{J0}^{(h)} + EF_h \varepsilon_h, \\ Q_J^{(h)} &= Q_{J0}^{(h)} - 6 \frac{EJ_h}{l_h^2} (\varphi_J^{(h)} + \varphi_K^{(h)} - 2\vartheta_h), \\ Q_K^{(h)} &= Q_{K0}^{(h)} - 6 \frac{EJ_h}{l_h^2} (\varphi_J^{(h)} + \varphi_K^{(h)} - 2\vartheta_h). \end{aligned} \right\} \quad (505)$$

2. Das Stabende  $J$  ist elastisch drehbar, das Ende  $K$  ist starr eingespannt (Abb. 286b),  $\varphi_K^{(h)} = 0$ :

$$\left. \begin{aligned} M_J^{(h)} &= M_{J_0}^{(h)} + 2 \frac{E J_h}{l_h} (2 \varphi_J^{(h)} - 3 \vartheta_h), & M_K^{(h)} &= M_{K_0}^{(h)} + 2 \frac{E J_h}{l_h} (\varphi_J^{(h)} - 3 \vartheta_h), \\ N_J^{(h)} &= N_{J_0}^{(h)} + \varepsilon_h E F_h, & N_K^{(h)} &= N_{K_0}^{(h)} + \varepsilon_h E F_h, \\ Q_J^{(h)} &= Q_{J_0}^{(h)} - 6 \frac{E J_h}{l_h^2} (\varphi_J^{(h)} - 2 \vartheta_h), & Q_K^{(h)} &= Q_{K_0}^{(h)} - 6 \frac{E J_h}{l_h^2} (\varphi_J^{(h)} - 2 \vartheta_h). \end{aligned} \right\} (506)$$

Die Anschlußkräfte  $M_{J_0}^{(h)}$ ,  $M_{K_0}^{(h)}$  des beiderseits starr eingespannten Stabes aus  $\mathfrak{P}_h$  und  $\Delta t = t_u - t_o$  können bei unveränderlichem Stabquerschnitt folgendermaßen berechnet werden (Abb. 287):

$$\left. \begin{aligned} M_{J_0}^{(h)} &= \frac{2}{l_h^2} (2 S_K^{(h)} + S_J^{(h)}), \\ M_{K_0}^{(h)} &= \frac{2}{l_h^2} (2 S_J^{(h)} + S_K^{(h)}), \\ S_J^{(h)} &= \int_0^{l_h} M_{m_0}^{(h)} x dx + \frac{E J_h l_h^2}{2} \frac{\alpha_t \Delta t}{h}; \\ S_K^{(h)} &= - \int_0^{l_h} M_{m_0}^{(h)} x' dx' - \frac{E J_h l_h^2}{2} \frac{\alpha_t \Delta t}{h}. \end{aligned} \right\} (507)$$

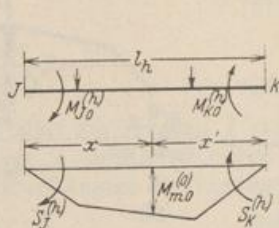


Abb. 287.

$M_{m_0}^{(h)}$  sind die Biegemomente aus der Belastung und  $M_{J_0}^{(h)} = M_{K_0}^{(h)} = 0$ .

b) Der Stab ( $g$ ) ist in  $J$  steif, in  $G$  gelenkig angeschlossen (Abb. 286c). Die Schnittkräfte  $M_G^{(g)}$ ,  $N_G^{(g)}$ ,  $N_G^{(g)}$  sind in (501) Null.  $N_G^{(g)} = E F_g$  und daher

$$N_G^{(g)} = N_G^{(g)} + E F_g \varepsilon_g. \quad (508)$$

Das Anschlußmoment  $M_J^{(g)}$  wird unter Beachtung der Vorzeichen nach Abschn. 26, jedoch unter Verwendung der wirklichen Vorzeichen und Belastungszahlen  $\delta$ , berechnet. Mit der Bezeichnung  $J \equiv$  Ziffer 1 ist die Verdrehung dieses Endquerschnitts durch die Belastung  $\mathfrak{P}_g$  und eine ungleichförmige Temperaturänderung  $\Delta t$  des Stabes  $\delta_{10}$  und  $\delta_{1s} = \varphi_J^{(g)} - \vartheta_g$ .

$$M_J^{(g)} = \frac{\delta_{10}}{\delta_{11}} + \frac{\delta_{1s}}{\delta_{11}} = M_{J_0}^{(g)} + \frac{1}{\delta_{11}} (\varphi_J^{(g)} - \vartheta_g). \quad (509)$$

Bei konstantem Querschnitt  $F_g$ ,  $J_g$  im Bereich von  $l_g$  ist

$$\left. \begin{aligned} M_J^{(g)} &= M_{J_0}^{(g)} + \frac{3 E J_g}{l_g} (\varphi_J^{(g)} - \vartheta_g), \\ N_G^{(g)} &= N_{G_0}^{(g)} + E F_g \varepsilon_g, & N_J^{(g)} &= N_{J_0}^{(g)} + E F_g \varepsilon_g, \\ Q_J^{(g)} &= Q_{J_0}^{(g)} - \frac{3 E J_g}{l_g^2} (\varphi_J^{(g)} - \vartheta_g), & Q_G^{(g)} &= Q_{G_0}^{(g)} - \frac{3 E J_g}{l_g^2} (\varphi_J^{(g)} - \vartheta_g). \end{aligned} \right\} (510)$$

Das Anschlußmoment  $M_{J_0}^{(g)}$  aus  $\mathfrak{P}_g$ ,  $\Delta t$  kann mit den Bezeichnungen der Abb. 287 folgendermaßen berechnet werden:

$$M_{J_0}^{(g)} = - \frac{3}{l_g^2} \left( \int_0^{l_g} M_{m_0}^{(g)} x' dx' + \frac{E J_g l_g^2}{2} \frac{\alpha_t \Delta t}{h} \right). \quad (511)$$

c) Die Anschlüsse nach Abb. 286d, e sind selten. Die schräge Führung des Stabes in  $K$  nach Abb. 286d ist im Ansatz gleichbedeutend mit gelenkigem Anschluß.

d) Der Stab ist in  $J$  steif angeschlossen, am anderen Ende frei (Abb. 286f). Die Belastung des Stabes wird als Belastung des Stabknotens  $J$  behandelt.

**Gekrümmte Stäbe und Stabzüge.** Die Anschlußkräfte des Stabes ( $h$ ) können für dreierlei Randbedingungen angegeben werden. Der Stab ist entweder an beiden